

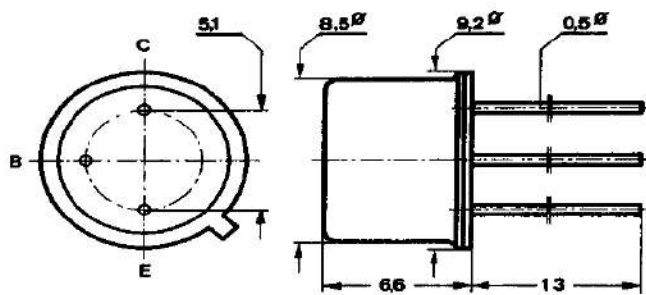
Germanium-NPN-Schalttransistor. Komplementär zu ASY 27.

Germanium NPN switching transistor. Complementary to ASY 27.

Abmessungen · Dimensions

Maße in mm

M 2:1


 Basis mit Gehäuse verbunden
 Base connected to case

 Normgehäuse
 DIN 5 C 3

JEDEC TO 39

 Gewicht · Weight
 max. 1,5 g

Absolute Grenzdaten · Absolute maximum ratings

Kollektor-Basis-Sperrspannung	U_{CBO}	25	V
Emitter-Basis-Sperrspannung	U_{EBO}	20	V
Kollektorstrom	I_C	200	mA
Kollektorspitzenstrom	I_{CM}	300	mA
Basisstrom	I_B	30	mA
Basisspitzenstrom	I_{BM}	300	mA
Emitterstrom	$-I_E$	230	mA
Emitterspitzenstrom	$-I_{EM}$	300	mA
Gesamtverlustleistung			
$t_{amb} \leq 45^\circ C$	P_{tot}	138	mW
$t_{amb} \leq 25^\circ C$	P_{tot}	188	mW
Sperrschiichttemperatur	t_j	100	°C
Lagerungstemperatur	t_{stg}	-65...+100	°C

ASY 29

Wärmewiderstände • Thermal resistances

Sperrsicht-Umgebung	R_{thJA}	≤ 400	$^{\circ}\text{C}/\text{W}$
Sperrsicht-Gehäuse	R_{thJC}	≤ 200	$^{\circ}\text{C}/\text{W}$

Statische Kenngrößen • DC characteristics

Umgebungstemperatur $t_{amb} = 25^{\circ}\text{C}$, falls nicht anders angegeben

		Min.	Typ.	Max.
Kollektor-Reststrom				
$U_{CB} = 5\text{ V}$	$I_{CBO}^{*)}$		3	μA
$U_{CE} = 20\text{ V}, -U_{BE} = 0,2\text{ V}, t_{amb} = 60^{\circ}\text{C}$	I_{CEV}		35	μA
Emitter-Reststrom	I_{EBO}		3	μA
$U_{EB} = 5\text{ V}$				
Basis-Reststrom	$-I_{BEV}$		35	μA
$U_{CE} = 20\text{ V}, -U_{BE} = 5\text{ V}, t_{amb} = 60^{\circ}\text{C}$				
Kollektor-Sättigungsspannung				
$I_C = 10\text{ mA}, I_B = 0,2\text{ mA}$	U_{CEsat}		0,2	
$I_C = 50\text{ mA}, I_B = 1,25\text{ mA}$	U_{CEsat}		0,25	V
Basis-Sättigungsspannung				
$I_C = 10\text{ mA}, I_B = 0,25\text{ mA}$	U_{BEsat}		0,32	V
$I_C = 50\text{ mA}, I_B = 1,55\text{ mA}$	U_{BEsat}		0,45	V
Basisstrom,				
$U_{CB} = 0\text{ V}, -I_E = 10\text{ mA}$	$I_B^{*)}$		195	μA
$U_{CB} = 0\text{ V}, -I_E = 20\text{ mA}$	I_B	130	395	μA
Basisspannung } Basisstrom } $U_{CB} = 0, -I_E = 100\text{ mA}$	$U_{BE}^{*)}$		0,55	V
	$I_B^{*)}$		3,25	mA

*) AQL = 0,65 %

Kollektor-Basis-Stromverhältnis		Min.	Typ.	Max.
$U_{CB} = 0 \text{ V}, -I_E = 10 \text{ mA}$	$h_{FE}^*)$	50		
$U_{CB} = 0 \text{ V}, -I_E = 20 \text{ mA}$	h_{FE}	50		150
$U_{CB} = 0 \text{ V}, -I_E = 100 \text{ mA}$	$h_{FE}^*)$	30		
$U_{CB} = 0 \text{ V}, -I_E = 200 \text{ mA}$	h_{FE}		82	
Kollektor-Basis-Sperrspannung	U_{CBO}	25		V
$I_C = 100 \text{ A}, t_{amb} = 60^\circ\text{C}$				
Kollektor-Emitter-Sperrspannung	U_{CEO}	115		V
$I_C = 5 \text{ mA}$				
Emitter-Basis-Sperrspannung	U_{EBO}	20		V
$I_E = 0,1 \text{ mA}, t_{amb} = 60^\circ\text{C}$				

Dynamische Kenngrößen · AC characteristics

Umgebungstemperatur $t_{amb} = 25^\circ\text{C}$

		Min.	Typ.	Max.	
Transitfrequenz	f_T	6	20		MHz
$U_{CE} = 5 \text{ V}, I_C = 3 \text{ mA}$					
Kollektorkapazität	C_{CBO}		12	16	pF
$U_{CB} = 5 \text{ V}, I_E = 0 \text{ mA}$					
Emitterkapazität	C_{EBO}			13	
$U_{EB} = 5 \text{ V}, I_C = 0 \text{ mA}$					
Einschalt-Zeitkonstante für stromkonstante Einspeisung	τ			2,2	μs
$U_{CE} = 0,75 \text{ V}, I_{CM} = 50 \text{ mA}$					
Einschalt-Zeitkonstante für spannungskonstante Einspeisung	τ			0,2	μs
$U_{CE} = 0,75 \text{ V}, I_{CM} = 1 \text{ mA}$					
Übersteuerungs-Zeitkonstante	τ_S			1,4	μs
$I_C = 0 \text{ mA}, I_B = 1 \text{ mA}$					

^{*)} AQL = 0,65 %

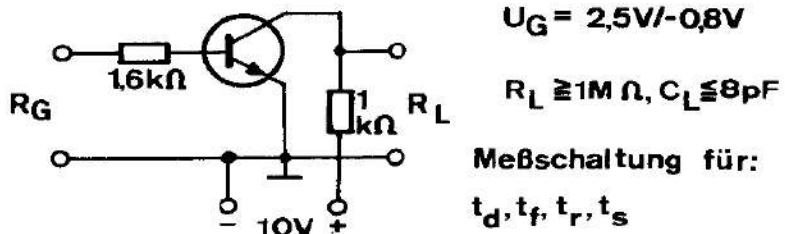
ASY 29

Schaltzeiten · Switching times

in der nachstehenden Schaltung gemessen

Min. Typ. Max.

Verzögerungszeit	t_d	75	ns
Anstiegszeit	t_r	300	ns
Speicherzeit	t_s	800	ns
Abfallzeit	t_f	520	ns



Die Speicherzeit t_s steigt bis $t_{amb} = 60^\circ \text{C}$ linear auf den 1,5-fachen Wert an.

Die Abfallzeit t_f steigt bis $t_{amb} = 60^\circ \text{C}$ linear auf den 1,25-fachen Wert an.